

# 種数2の超楕円曲線の2冪ねじれ点の計算アルゴリズムの改良

小崎 俊二 (情報セキュリティ大学院大学 M2)

松尾和人 (情報セキュリティ大学院大学)

2007年3月3日

# 大標数の定義体上の種数2の超楕円曲線の位数計算

暗号利用可能な超楕円曲線の構成を目的

- P. Gaudry and R. Harley, 2000  
Schoofアルゴリズムを基本とし、63bitの素体上の位数計算  
 $2^8$ ねじれ点を利用
- P. Gaudry and É. Schost, 2004  
多くの改良を行ない80bitの素体上の位数計算を1週間/曲線で実現  
2冪ねじれ点計算に現れる 16次多項式の根を求める アルゴリズムを改良  
 $2^{10}$ ねじれ点を利用

## 超楕円曲線の位数計算

- $p$ : 奇素数、 $\mathbb{F}_p$  上定義された種数 2 の超楕円曲線

$C : Y^2 = F(X)$ ,  $F \in \mathbb{F}_p[X]$  : monic,  $\deg F = 5$ , 重根をもたない

$\mathbb{J}_C(\mathbb{F}_p)$  が素位数  $\Rightarrow$   $F$  は  $\mathbb{F}_p$  上既約

- $p$  乗 Frobenius 写像  $\phi_p : \mathbb{J}_C \rightarrow \mathbb{J}_C$ 、 $\phi_p$  の特性多項式  $\chi$

$$\#\mathbb{J}_C(\mathbb{F}_p) = \chi(1)$$

- $\chi$  の整数係数を決定するために、 $k \in \mathbb{N}$  に対し、

$$[\chi(\phi_p) \bmod 2^k] \mathcal{D}_k = 0, \text{ for } \forall \mathcal{D}_k \in \mathbb{J}_C[2^k]$$

を満足する  $\chi \bmod 2^k$  の係数を利用  $2^k$  ねじれ点を具体的に計算する必要

# Gaudry と Harley の 2 冪ねじれ点の計算アルゴリズム

2 ねじれ点を初期値として 2 等分点計算を繰り返す

$$\mathcal{D}_1 \in \mathbb{J}_C[2] \rightarrow \cdots \mathcal{D}_i \in \mathbb{J}_C[2^i] \rightarrow \underline{\mathcal{D}_{i+1}} \text{ s.t. } [2]\mathcal{D}_{i+1} = \mathcal{D}_i \cdots \rightarrow \mathcal{D}_k \in \mathbb{J}_C[2^k]$$

## $\mathcal{D}_i$ の 2 等分点計算

$$\mathcal{D}_i = (X^2 + u_1X + u_0, v_1X + v_0), \quad u_1, u_0, v_1, v_0 \in \mathbb{F}_q$$

$$[2](X^2 + U_1X + U_0, V_1X + V_0) = \mathcal{D}_i$$

変数  $U_1, U_0, V_1, V_0$  の条件

辞書式順序  $U_1 \prec U_0 \prec V_1 \prec V_0$  Gröbner 基底

$$M_1(U_1) = 0, \quad U_0 = M_0(U_1), \quad V_1 = L_1(U_1), \quad V_0 = L_0(U_1), \\ M_1, M_0, L_1, L_0 \in \mathbb{F}_q[U_1], \quad \deg M_0, \deg L_1, \deg L_0 < \deg M_1 = 16$$

$$M_1(\alpha) = 0 \\ \Leftrightarrow (X^2 + \alpha X + M_0(\alpha), L_1(\alpha) + L_0(\alpha)) \in \{\mathcal{D} \mid [2]\mathcal{D} = \mathcal{D}_i\}$$

$i$  の増加       $\mathbb{F}_q$  の拡大次数増加      16 次多項式  $M_1$  の根の計算時間増加

# Gaudry と Schost の $M_1$ の根の計算アルゴリズム

$M_0, L_1, L_0$  及び  $\mathbb{J}_C[2]$  の作用を利用し  $M_1$  の根を計算

$$\mathbf{D}_0 := (X^2 + U_1X + M_0(U_1), L_1(U_1)X + L_0(U_1)), g \in \mathbb{J}_C[2]$$

$$\rightarrow \mathbf{D}_0 + g = (X^2 + \underline{U_1^{(g)}(U_1)}X + U_0^{(g)}(U_1), V_1^{(g)}(U_1)X + V_0^{(g)}(U_1))$$

$U_1^{(g)} \in \mathbb{F}_q[U_1]/(M_1)$  は、 $g$  の作用による  $M_1$  の根の置換

$$\begin{array}{ccccc} \mathbb{J}_C[2] \supseteq & G_3 \supseteq & G_2 \supseteq & G_1 \supseteq & G_0 \\ \wr & \wr & \wr & \wr & \wr \\ (\mathbb{Z}/2\mathbb{Z})^4 & (\mathbb{Z}/2\mathbb{Z})^3 & (\mathbb{Z}/2\mathbb{Z})^2 & (\mathbb{Z}/2\mathbb{Z}) & \{0\} \end{array}$$

に対し、

$$s_{G_j}(U_1) := \sum_{g \in G_j} U_1^{(g)}(U_1) \in \mathbb{F}_q[U_1]/(M_1)$$

$G_j$  の元的作用で置換される  $M_1$  の根の部分

和  $s_{G_j}(U_1)$  の  $\mathbb{F}_q$  上の最小多項式の次数は、 $[\mathbb{J}_C[2] : G_j]$

## Gaudry と Schost の $M_1$ の根の計算アルゴリズム

$s_{G_3}(U_1)$  の  $\mathbb{F}_q$  上の最小多項式      2次多項式  $T_3$  の根  $\alpha_3$   
 $s_{G_2}(U_1)$  の  $\mathbb{F}_q(\alpha_3)$  上の最小多項式      2次多項式  $T_2$  の根  $\alpha_2$   
 $s_{G_1}(U_1)$  の  $\mathbb{F}_q(\alpha_3, \alpha_2)$  上の最小多項式      2次多項式  $T_1$  の根  $\alpha_1$   
 $s_{G_0}(U_1)$  の  $\mathbb{F}_q(\alpha_3, \alpha_2, \alpha_1)$  上の最小多項式      2次多項式  $T_0$  の根  $\alpha_0$   
 $\alpha_0$  は  $M_1$  の根

4つの2次多項式  $T_3, T_2, T_1, T_0$  を順次解き  $M_1$  の根を得る

$T_2, T_1, T_0$  の係数体は、 $\mathbb{F}_q$  の拡大体となる可能性  
 $M_1$  の根の計算時間に影響

$T_3, T_2, T_1, T_0$  を構成する  $G_3, G_2, G_1$  の選び方は？

## 本研究の概要

2006年12月 JANT 第16回研究集会

計算実験より、

- $M_1$  の既約因子パターン すべて1次、またはすべて2次のみ
  - $M_1$  の根の共役写像を与える2ねじれ点 冪指数に依存せず同一
- 適切な  $G_3, G_2, G_1$  を構成し  $T_3, T_2, T_1, T_0$  の根の計算を効率化  
Gaudry と Schost の  $M_1$  の根を求めるアルゴリズムを改良

- $F$  が  $\mathbb{F}_p$  上既約であるとき、2冪ねじれ点の2等分点の性質より上記事実を証明
- $T_3, T_2, T_1, T_0$  の既約判定を省略  $M_1$  の根を求めるアルゴリズムを高速化
- 改良アルゴリズムの実装実験

## $M_1$ の根の定義される体

**命題 1**  $M_1 \in \mathbb{F}_q[U_1]$  の根は、 $\mathbb{F}_q$  の高々 2 次の拡大体上に存在

$$i \in \mathbb{N}, \mathcal{D}_i \in \mathbb{J}_C[2^i] \setminus \mathbb{J}_C[2^{i-1}], \mathcal{D}_i^{p^j} := \phi_{pj}(\mathcal{D}_i), 0 \leq j \leq 3$$

$$F: \mathbb{F}_p \text{ 上既約} \Rightarrow \mathbb{J}_C[2^i] = \langle \mathcal{D}_i, \mathcal{D}_i^p, \mathcal{D}_i^{p^2}, \mathcal{D}_i^{p^3} \rangle$$

$$\mathbb{F}_q: \mathcal{D}_i \text{ の定義される最小の体} \Rightarrow \mathbb{J}_C[2] \subset \mathbb{J}_C[2^i] \subset \mathbb{J}_C(\mathbb{F}_q)$$

$$\mathbb{J}_C[2] \subset \mathbb{J}_C(\mathbb{F}_q) \text{ のとき、} [2]\mathcal{D} = \mathcal{D}_i \Rightarrow \mathcal{D}^{q^2} = \mathcal{D}$$

$$\{\mathcal{D} \mid [2]\mathcal{D} = \mathcal{D}_i\} = \left\{ \left( X^2 + \alpha X + M_0(\alpha), L_1(\alpha) + L_0(\alpha) \right) \mid M_1(\alpha) = 0 \right\}$$



## $M_1$ の既約因子の次数

**命題 2**  $M_1 \in \mathbb{F}_q[U_1]$  の  $\mathbb{F}_q$  上の既約因子は、すべて同じ次数

$i \in \mathbb{N}$ ,  $\mathcal{D}_i \in \mathbb{J}_C[2^i] \setminus \mathbb{J}_C[2^{i-1}]$ ,  $\mathcal{D}_{i+1}$  s.t.  $[2]\mathcal{D}_{i+1} = \mathcal{D}_i$ ,  $g \in \mathbb{J}_C[2]$ 、

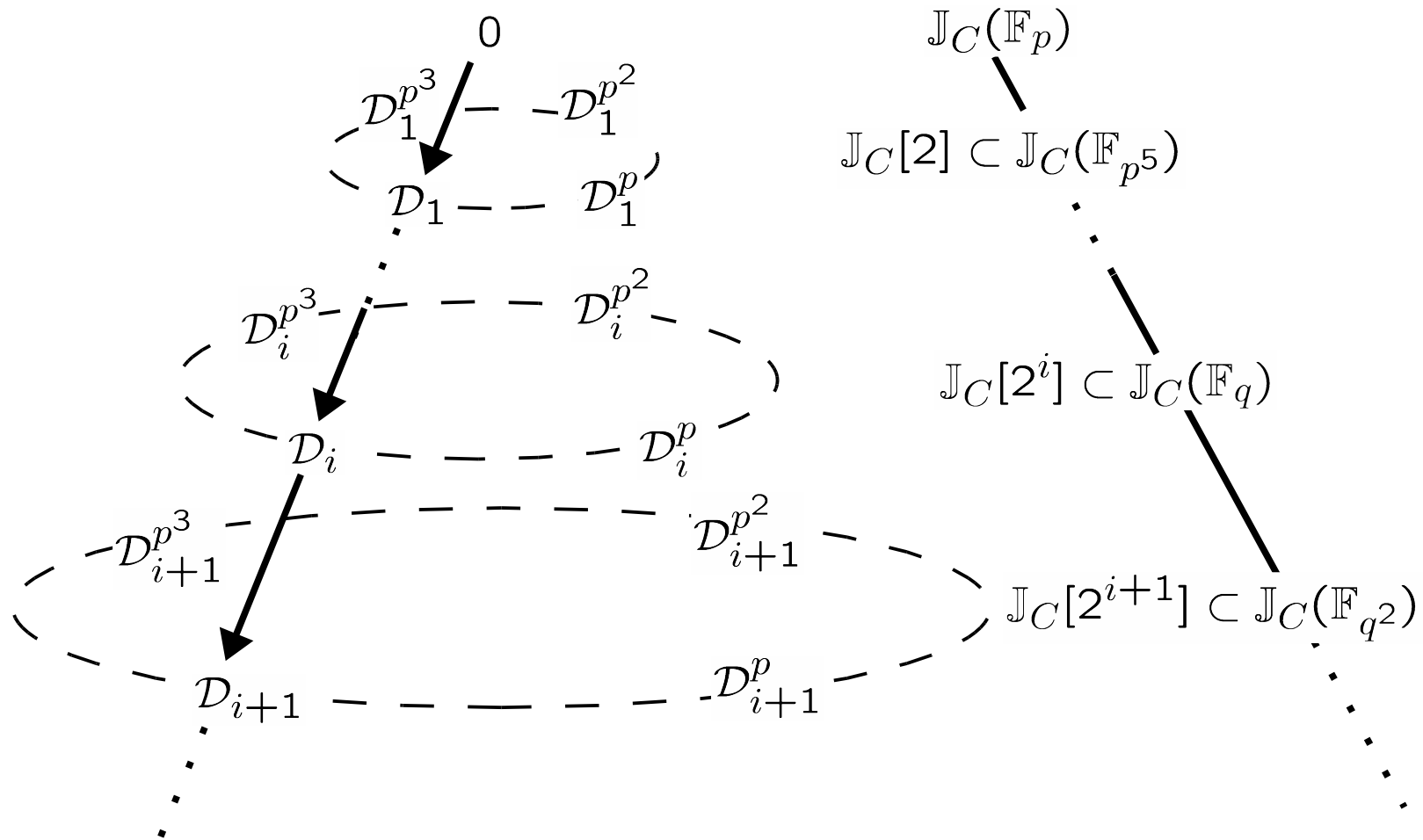
$\mathbb{J}_C[2] \subset \mathbb{J}_C(\mathbb{F}_q) \Rightarrow \mathcal{D}_{i+1}$  と  $\mathcal{D}_{i+1} + g$  の定義される最小の体は同一

$$\begin{aligned} \{\mathcal{D}_{i+1} + g \mid g \in \mathbb{J}_C[2]\} &= \{\mathcal{D} \mid [2]\mathcal{D} = \mathcal{D}_i\} \\ &= \left\{ (X^2 + \alpha X + M_0(\alpha), L_1(\alpha) + L_0(\alpha)) \mid M_1(\alpha) = 0 \right\} \end{aligned}$$

**命題 1, 命題 2 より**

$$\begin{aligned} M_1 &= \overbrace{(X - a_1)(X - a_2) \cdots (X - a_{15})(X - a_{16})}^{16} \\ &\text{または } \overbrace{(X^2 + a_1 X + a_0) \cdots (X^2 + h_1 X + h_0)}^8 \end{aligned}$$

## 2 冪ねじれ点の 2 等分点の定義される体



$M_1 \in \mathbb{F}_q[U_1]$  が 2 次の既約因子を持つ場合、  
 $T_3, T_2, T_1$ : 可約、 $T_0$ : 既約 効率的に  $M_1$  の根を計算

## $T_0$ を既約とする $G_3, G_2, G_1$ の構成

$T_0$  が  $\mathbb{F}_q$  上既約  $\Rightarrow T_1$  の根  $\alpha_1 \in \mathbb{F}_q \Rightarrow s_{G_1}(U_1)$  が  $M_1$  の共役根の和

$$\mathbb{J}_C[2] = \langle g_1, g_2, g_3, g_4 \rangle$$

$$G_1 = \langle g_1 \rangle \subsetneq G_2 = \langle g_1, g_2 \rangle \subsetneq G_3 = \langle g_1, g_2, g_3 \rangle$$

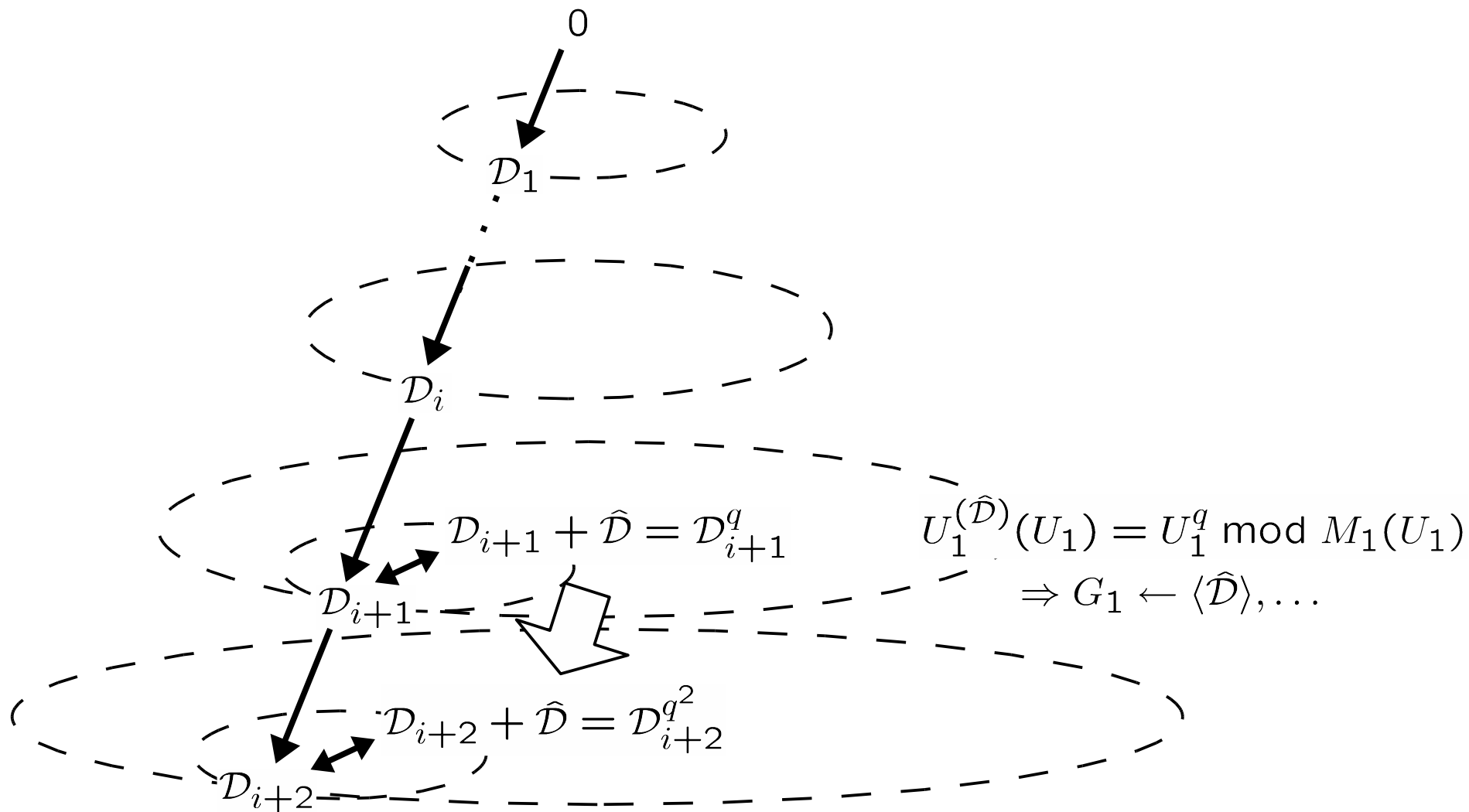
$$\underline{U_1^{(\hat{D})}(U_1) = U_1^q \bmod M_1(U_1)}$$

を満足する  $\hat{D} \in \mathbb{J}_C[2]$  を探索  $g_1 := \hat{D}$

冪指数の増加に伴い、 $U_1^q \bmod M_1(U_1)$  の計算時間増加

冪指数に依らず、同一の  $\hat{D}$   $G_3, G_2, G_1$  の構成は1回行なえばよい

## 2 冪ねじれ点の 2 等分点の共役写像を与える 2 ねじれ点



## 2 冪ねじれ点の2等分点に作用する2ねじれ点の性質

$$\mathcal{D}_i \text{ の2等分点} \quad \mathbf{D}_{i+1} := (X^2 + U_1X + M_0^{(i+1)}, L_1^{(i+1)}X + L_0^{(i+1)})$$

$$\mathcal{D}_{i+1} \text{ の2等分点} \quad \mathbf{D}_{i+2} := (X^2 + U_1X + M_0^{(i+2)}, L_1^{(i+2)}X + L_0^{(i+2)})$$

**命題 3**  $i > 1$ 、 $\mathcal{D}_i \in \mathbb{J}_C[2^i] \setminus \mathbb{J}_C[2^{i-1}]$ 、 $\mathbb{F}_q$ :  $\mathcal{D}_i$  の定義される最小の体、 $[2]\mathcal{D}_{i+1} = \mathcal{D}_i$ 、 $\mathcal{D}_{i+1} \in \mathbb{J}_C(\mathbb{F}_{q^2}) \setminus \mathbb{J}_C(\mathbb{F}_q)$  のとき、

$$\exists \hat{\mathcal{D}} \in \mathbb{J}_C[2] \setminus \{0\} : \mathbf{D}_{i+1} + \hat{\mathcal{D}} = \mathbf{D}_{i+1}^q$$

この  $\hat{\mathcal{D}}$  は、

$$\mathbf{D}_{i+2} + \hat{\mathcal{D}} = \mathbf{D}_{i+2}^{q^2}$$

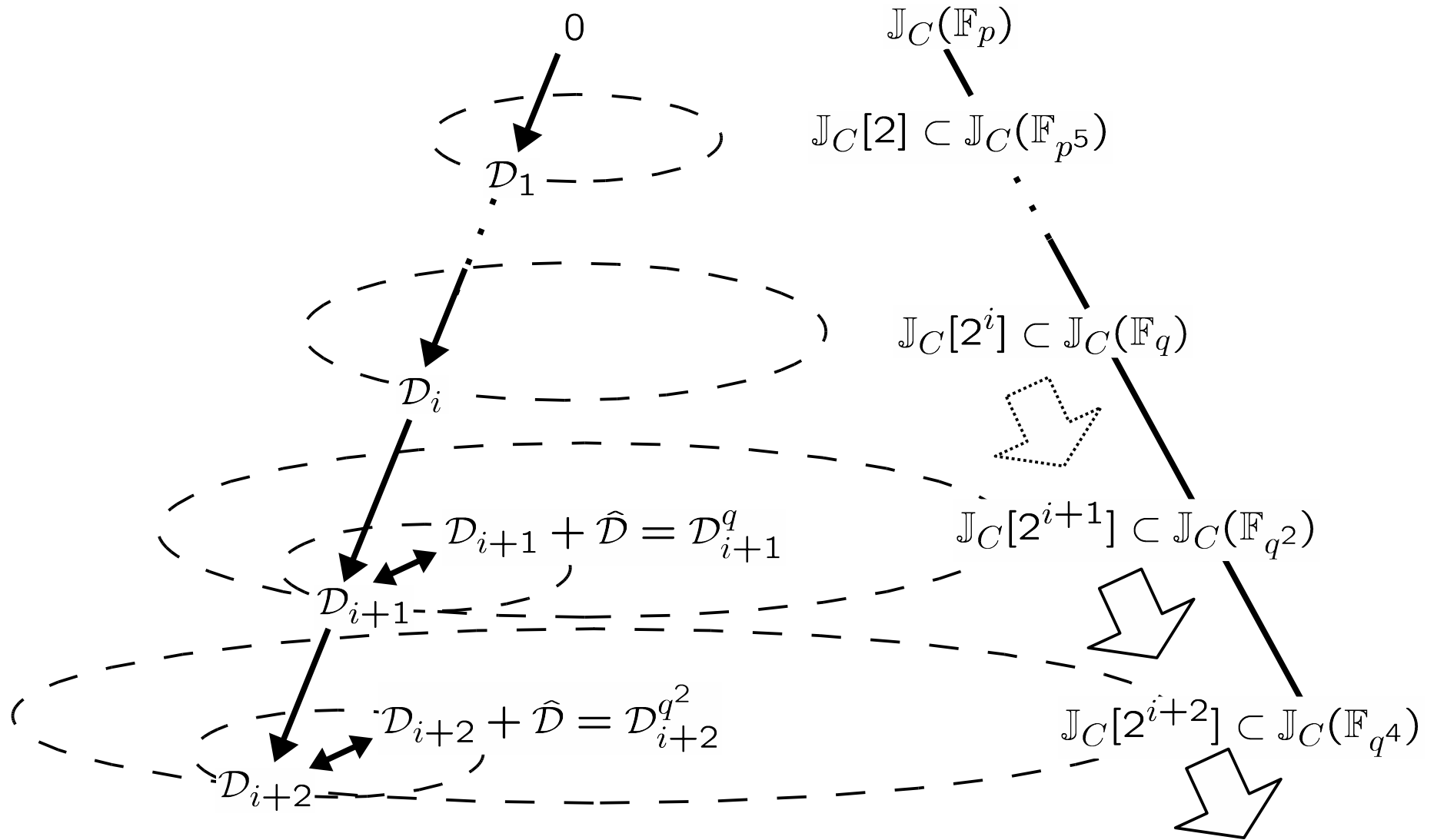
を満足する .

$$i > 1 \Rightarrow \mathbb{J}_C[4] \subset \mathbb{J}_C[2^i] \subset \mathbb{J}_C(\mathbb{F}_q) \Rightarrow \mathbf{D}_{i+1}^q - \mathbf{D}_{i+1} = \mathbf{D}_{i+2}^{q^2} - \mathbf{D}_{i+2}$$

ある冪指数  $i$  以上で、常に  $T_3, T_2, T_1$  は可約、 $T_0$  は既約

$T_3, T_2, T_1, T_0$  の既約判定を省略し高速化

## 2等分計算過程における定義体の拡大



## 実装実験

- CPU: Athlon64 2.4GHz、Magma V2.12-22
- $p = 5 \times 10^{24} + 8503491$ ,  $C$ : Gaudry と Schost の示した曲線
- 同一の  $\mathcal{D}_2 \in \mathbb{J}_C[4]$  を初期値として2等分点を計算

$2^i$  ねじれ点  $\mathcal{D}_i$  の計算時間 ( $3 \leq i \leq 10$ ) (単位 秒)

	$\mathcal{D}_3$	$\mathcal{D}_4$	$\mathcal{D}_5$	$\mathcal{D}_6$	$\mathcal{D}_7$	$\mathcal{D}_8$	$\mathcal{D}_9$	$\mathcal{D}_{10}$
$G_j$ の再構成なし	39	92	354	684	4062	17716	65665	367387
前回 JANT 発表	45	55	288	326	921	4950	21648	89978
今回改良	44	52	260	275	719	3162	13061	42215

## 2 冪ねじれ点計算における $T_j$ の根の計算時間

	$\mathcal{D}_3$	$\mathcal{D}_4$	$\mathcal{D}_5$	$\mathcal{D}_6$	$\mathcal{D}_7$	$\mathcal{D}_8$	$\mathcal{D}_9$	$\mathcal{D}_{10}$
$T_3$	0	1	1	3	14	57	279	1669
	0	1	7	13	72	746	2329	10676
	0	1	7	24	73	490	3539	13295
$T_2$	1	9	13	71	484	2906	10678	82808
	1	1	7	21	59	610	5354	21498
	1	1	10	16	58	735	4154	10294
$T_1$	1	7	15	148	1377	2306	13592	54902
	1	1	9	18	59	617	2362	10619
	1	1	7	13	86	743	2347	10426
$T_0$	1	7	13	58	483	5317	10849	83371
	1	1	1	3	14	59	288	1671
	1	0	1	3	14	58	284	1644
$U_1^q \bmod M_1$	-	-	-	-	-	-	-	-
	5	-	-	-	-	-	-	-
	5	-	-	-	-	-	-	-

上段: $G_j$ の再構成なし、中段:前回 JANT、下段:今回改良、単位 秒



## 2 幂ねじれ点計算における $T_j$ の既約判定計算時間

	$\mathcal{D}_3$	$\mathcal{D}_4$	$\mathcal{D}_5$	$\mathcal{D}_6$	$\mathcal{D}_7$	$\mathcal{D}_8$	$\mathcal{D}_9$	$\mathcal{D}_{10}$
$T_3$	0	1	11	20	90	717	3432	15694
	0	0	5	10	46	359	1717	7866
	0	0	0	0	0	0	0	0
$T_2$	0	5	10	45	354	1694	7815	40140
	0	0	5	10	45	351	1699	7642
	0	0	0	0	0	0	0	0
$T_1$	0	5	10	45	352	1698	7866	40614
	0	0	5	10	46	356	1727	7765
	0	0	0	0	0	0	0	0
$T_0$	0	5	10	45	353	1700	7938	40383
	0	1	11	20	92	714	3439	15604
	0	0	0	0	0	0	0	0

上段: $G_j$ の再構成なし、中段:前回 JANT、下段:今回改良、単位 秒

---

**Algorithm 1** 2 冪ねじれ点計算の改良アルゴリズム

---

**Input:**  $C : Y^2 = F(X)$ ,  $F$  は  $\mathbb{F}_p$  上既約なモニック 5 次多項式, 自然数  $m \geq 3$

**Output:**  $\mathcal{D}_m \in \mathbb{J}_C[2^m] \setminus \mathbb{J}_C[2^{m-1}]$

- 1:  $\mathcal{D}_1 \in \mathbb{J}_C[2]$  及び  $\mathcal{D}_2 \in \mathbb{J}_C[4]$  を計算
  - 2:  $G_0 \leftarrow \{0\}$ ,  $G_1 \leftarrow \langle \mathcal{D}_1 \rangle$ ,  $G_2 \leftarrow \langle \mathcal{D}_1, \mathcal{D}_1^p \rangle$ ,  $G_3 \leftarrow \langle \mathcal{D}_1, \mathcal{D}_1^p, \mathcal{D}_1^{p^2} \rangle$
  - 3: flag  $\leftarrow$  false
  - 4: **for**  $i = 2$  to  $m - 1$  **do**
  - 5:      $\mathcal{D}_i$  の 2 等分点の条件より、 $M_1, M_0, L_1, L_0$  を計算
  - 6:     **if** flag=false **then**
  - 7:          $M_0, L_1, L_0$  及び  $G_i$  を用いて、 $M_1$  の根  $\alpha$  を計算
  - 8:         **if**  $\alpha \notin \mathbb{F}_q$  **then**
  - 9:             flag  $\leftarrow$  true
  - 10:              $U_1^{(\hat{\mathcal{D}})}(U_1) = U_1^q \pmod{M_1}$  を満足する 2 ねじれ点  $\hat{\mathcal{D}}$  を探索
  - 11:              $G_1 \leftarrow \langle \hat{\mathcal{D}} \rangle$ ,  $G_2 \leftarrow \langle \hat{\mathcal{D}}, \hat{\mathcal{D}}^p \rangle$ ,  $G_3 \leftarrow \langle \hat{\mathcal{D}}, \hat{\mathcal{D}}^p, \hat{\mathcal{D}}^{p^2} \rangle$
  - 12:         **else**
  - 13:              $M_0, L_1, L_0$  及び  $G_i$  を用いて、 $M_1$  の根  $\alpha$  を計算 ( $T_j$  の既約判定省略)
  - 14:              $\mathcal{D}_{i+1} \leftarrow (X^2 + \alpha X + M_0(\alpha), L_1(\alpha)X + L_0(\alpha))$
  - return**  $\mathcal{D}_m$
-